

Problemas de Ordenação de Permutações por Operações Ponderadas

Alexsandro Oliveira Alexandrino

21 de Fevereiro de 2019

Orientador: Prof. Zanoni Dias

Coorientadora: Profa. Carla Negri Lintzmayer

Instituto de Computação - Universidade Estadual de Campinas

Roteiro

- Introdução
- Conceitos
- Operações Ponderadas pelo Número de Fragmentações
- Operações Curtas Ponderadas pelo Tamanho
- Conclusões
- Referências

Introdução

Introdução

- Distância Evolucionária e Distância de Rearranjo.
- Rearranjo de Genoma: mutação em larga escala que altera segmentos de um genoma.
 - Reversão.
 - Transposição.
- Representação de um genoma como uma permutação.
- Distância de ordenação de permutações.

Introdução

- Abordagem tradicional: a distância entre dois genomas é igual ao tamanho da sequência mínima de operações que transformam um genoma em outro.
 - Ordenação por Reversões: NP-Difícil [8];
 - Ordenação por Reversões com Sinais: P [13];
 - Ordenação por Transposições: NP-Difícil [7];
 - Ordenação por Reversões e Transposições: Complexidade em aberto.
- Abordagens ponderadas: a distância entre dois genomas é igual ao custo de uma sequência de operações de custo mínimo que transforma um genoma em outro.

Introdução

- As funções de custo mais estudas são:
 - Relacionadas ao tamanho do rearranjo [4, 19];
 - Relacionadas ao tipo do rearranjo [2, 11].

Introdução

- Nesse trabalho, consideramos duas variações do problema:
 - Ordenação de Permutações por Operações Ponderadas pelo Número de Fragmentações;
 - Ordenação de Permutações por Operações Curtas Ponderadas pelo Tamanho.

Conceitos

Permutações

Representação de um Genoma - Permutações com Sinais

- $\pi = (\pi_1 \ \pi_2 \ \pi_3 \ \dots \ \pi_n)$
- $\pi_i \in \{-n, -(n-1), \dots, -1, +1, \dots, +(n-1), +n\}$
- $|\pi_i| = |\pi_j| \leftrightarrow i = j$

Permutações com Sinais

- $\pi = (+5 \ +2 \ +4 \ -1 \ -3)$

Permutações

Representação de um Genoma - Permutações sem Sinais

- $\pi = (\pi_1 \ \pi_2 \ \pi_3 \ \dots \ \pi_n)$
- $\pi_i \in \{1, \dots, n-1, n\}$
- $\pi_i = \pi_j \leftrightarrow i = j$

Permutações sem Sinais

- $\pi = (5 \ 2 \ 4 \ 1 \ 3)$

Permutações

Permutação identidade

- $\iota = (1 \ 2 \ 3 \ \cdots \ n)$

Permutação reversa

- $\eta = (n \ \dots \ 2 \ 1)$
- $\bar{\eta} = (-n \ \dots \ -2 \ -1)$

Modelo de Rearranjo

- Conjunto de rearranjos permitidos para o cálculo da distância;
- Exemplos de modelos de rearranjo: r , \bar{r} , t , rt e $\bar{r}t$.
- Ao considerar apenas operações curtas, adicionamos à notação do modelo o prefixo s (curtas, do inglês *short*).

Reversão

Definições

- Uma reversão sem sinais $\rho(i,j)$, com $1 \leq i < j \leq n$, inverte a ordem do segmento (π_i, \dots, π_j) .

$$\pi = (\pi_1 \dots \pi_{i-1} \underline{\pi_i \dots \pi_j} \pi_{j+1} \dots \pi_n)$$

$$\pi \circ \rho(i,j) = (\pi_1 \dots \pi_{i-1} \underline{\pi_j \dots \pi_i} \pi_{j+1} \dots \pi_n)$$

- Reversão de prefixo: $\rho(1,j)$, com $1 < j \leq n$.
- Reversão de sufixo: $\rho(i,n)$, com $1 \leq i < n$.

Exemplo

$$\pi = (5 \ 4 \ \underline{2 \ 3} \ 1)$$

$$\pi \circ \rho(3,4) = (5 \ 4 \ 3 \ 2 \ 1)$$

Reversão

Definições

- Uma reversão com sinais $\bar{\rho}(i, j)$, com $1 \leq i \leq j \leq n$, inverte a ordem do segmento (π_i, \dots, π_j) e troca o sinal dos elementos desse segmento.

$$\pi = (+\pi_1 \dots +\pi_{i-1} \underline{+\pi_i \dots +\pi_j} +\pi_{j+1} \dots +\pi_n)$$

$$\pi \circ \bar{\rho}(i, j) = (+\pi_1 \dots +\pi_{i-1} \underline{-\pi_j \dots -\pi_i} +\pi_{j+1} \dots +\pi_n)$$

- Reversão com sinais de prefixo: $\bar{\rho}(1, j)$, com $1 \leq j \leq n$.
- Reversão com sinais de sufixo: $\bar{\rho}(i, n)$, com $1 \leq i \leq n$.

Exemplo

$$\pi = (-5 -4 \underline{+2 +3} -1)$$

$$\pi \circ \bar{\rho}(3, 4) = (-5 -4 -3 -2 -1)$$

Transposição

Definições

- Uma transposição $\tau(i, j, k)$, com $1 \leq i < j < k \leq n + 1$, troca de posição o segmento $(\pi_i, \pi_{i+1}, \dots, \pi_{j-1})$ com o segmento adjacente $(\pi_j, \pi_{j+1}, \dots, \pi_{k-1})$.

$$\pi = (\pi_1 \dots \pi_{i-1} \underline{\pi_i \dots \pi_{j-1}} \underline{\pi_j \dots \pi_{k-1}} \pi_k \dots \pi_n)$$

$$\pi \circ \tau(i, j, k) = (\pi_1 \dots \pi_{i-1} \underline{\pi_j \dots \pi_{k-1}} \underline{\pi_i \dots \pi_{j-1}} \pi_k \dots \pi_n)$$

- Transposição de prefixo: $\tau(1, j, k)$, com $1 < j < k \leq n + 1$.
- Transposições de sufixo: $\tau(i, j, n + 1)$, com $1 \leq i < j \leq n$.

Exemplo

$$\pi = (4 \underline{5} \underline{1} 2 3)$$

$$\pi \circ \tau(1, 3, 6) = (1 2 3 4 5)$$

Definições

- Uma operação é completa se envolve todos os elementos da permutação.
- O tamanho $|\beta|$ de uma operação β é igual a quantidade de elementos afetados por ela.
 - $|\rho(i, j)| = j - i + 1$.
 - $|\tau(i, j, k)| = k - i$.
- Uma operação β é super curta se $|\beta| \leq 2$ e curta se $|\beta| \leq 3$.

Função de Custo

- $f : M \rightarrow \mathbb{R}$ é a função que denota o custo associado a cada operação de M .
- O custo de uma sequência de operações $S = \langle \beta_1, \beta_2, \dots, \beta_\ell \rangle$ é igual a $f(S) = \sum_{i=1}^{\ell} f(\beta_i)$.

Ordenação de Permutações

Distância de Ordenação

- Dados um modelo de rearranjo M , uma função de custo f e uma permutação π , a distância de ordenação $d_M^f(\pi)$ é o custo de uma sequência de operações $S = \langle \beta_1, \beta_2, \dots, \beta_\ell \rangle$ pertencentes a M , tal que $\pi \circ S = \iota$ e $\sum_{i=1}^\ell f(\beta_i)$ é mínimo.

Diâmetro

- Dados um modelo de rearranjo M e uma função de custo f , o diâmetro de tamanho n é denotado por $D_M^f(n) = \max\{d_M^f(\pi) : \pi \text{ tem tamanho } n\}$, com $n \in \mathbb{Z}^+$. Ou seja, $D_M^f(n)$ é a maior distância $d_M^f(\pi)$ entre todas as permutações de tamanho n .

Operações Ponderadas pelo Número de Fragmentações

Operações Ponderadas pelo Número de Fragmentações

- Nova ponderação proporcional à quantidade de fragmentações que uma operação causa na permutação.
- Similar à ponderação por tipo de rearranjo [2, 6, 11].

Fragmentações

Para qualquer par de posições $(i, i + 1)$ de uma permutação π , um rearranjo β causa fragmentação entre $(i, i + 1)$ se π_i e π_{i+1} não são adjacentes em $\pi \circ \beta$.

Operações Ponderadas pelo Número de Fragmentações

$$\pi = (\pi_1 \dots \pi_{i-1} \pi_i \pi_{i+1} \dots \pi_{j-1} \pi_j \pi_{j+1} \dots \pi_n)$$

$$\pi \circ \rho(1, n) = (\underline{\pi_n \dots \pi_{j+1} \pi_j \pi_{j-1} \dots \pi_{i+1} \pi_i \pi_{i-1} \dots \pi_1})$$

$$\pi \circ \rho(1, j) = (\underline{\pi_j \pi_{j-1} \dots \pi_{i+1} \pi_i \pi_{i-1} \dots \pi_1} \pi_{j+1} \dots \pi_n)$$

$$\pi \circ \rho(i, n) = (\pi_1 \dots \pi_{i-1} \underline{\pi_n \dots \pi_{j+1} \pi_j \pi_{j-1} \dots \pi_{i+1} \pi_i})$$

$$\pi \circ \rho(i, j) = (\pi_1 \dots \pi_{i-1} \underline{\pi_j \pi_{j-1} \dots \pi_{i+1} \pi_i} \pi_{j+1} \dots \pi_n)$$

Reversões

O custo de uma reversão $\rho(i, j)$ é:

- $f(\rho(i, j)) = 0$, se $i = 1$ e $j = n$
- $f(\rho(i, j)) = 1$, se $i = 1$ e $j < n$
- $f(\rho(i, j)) = 1$, se $i > 1$ e $j = n$
- $f(\rho(i, j)) = 2$, se $i > 1$ e $j < n$

Operações Ponderadas pelo Número de Fragmentações

$$\pi = (\pi_1 \dots \pi_{i-1} \pi_i \pi_{i+1} \dots \pi_{j-1} \pi_j \pi_{j+1} \dots \pi_{k-1} \pi_k \dots \pi_n)$$

$$\pi \circ \tau(1, j, n+1) = (\underline{\pi_j \pi_{j+1} \dots \pi_{k-1} \pi_k \dots \pi_n} \underline{\pi_1 \dots \pi_{i-1} \pi_i \pi_{i+1} \dots \pi_{j-1}})$$

$$\pi \circ \tau(1, j, k) = (\underline{\pi_j \pi_{j+1} \dots \pi_{k-1}} \underline{\pi_1 \dots \pi_{i-1} \pi_i \pi_{i+1} \dots \pi_{j-1} \pi_k \dots \pi_n})$$

$$\pi \circ \tau(i, j, n+1) = (\pi_1 \dots \pi_{i-1} \underline{\pi_j \pi_{j+1} \dots \pi_{k-1} \pi_k \dots \pi_n} \underline{\pi_i \pi_{i+1} \dots \pi_{j-1}})$$

$$\pi \circ \tau(i, j, k) = (\pi_1 \dots \pi_{i-1} \underline{\pi_j \pi_{j+1} \dots \pi_{k-1}} \underline{\pi_i \pi_{i+1} \dots \pi_{j-1} \pi_k \dots \pi_n})$$

Transposições

O custo de uma transposição $\tau(i, j, k)$ é:

- $f(\tau(i, j, k)) = 1$, se $i = 1$ e $k = n + 1$
- $f(\tau(i, j, k)) = 2$, se $i = 1$ e $k < n + 1$
- $f(\tau(i, j, k)) = 2$, se $i > 1$ e $k = n + 1$
- $f(\tau(i, j, k)) = 3$, se $i > 1$ e $k < n + 1$

Operações Ponderadas pelo Número de Fragmentações

- O objetivo dos problemas da Ordenação por Operações Ponderadas pelo Número de Fragmentações é encontrar a distância $d_M^f(\pi)$, onde f é a função de custos associada ao número de fragmentações que uma operação causa na permutação.
- Apresentamos cinco variações do problema:
 - Reversões (SbFWR);
 - Reversões com Sinais (SbFW \bar{R});
 - Transposições (SbFWT);
 - Reversões e Transposições (SbFWRT);
 - Reversões com Sinais e Transposições (SbFW \bar{R} T).

Relação com a Abordagem Tradicional

Lema 3.1

Considerando os problemas SbR e $Sb\bar{R}$, um algoritmo de α -aproximação para a versão não ponderada do problema é uma 2α -aproximação assintótica para a versão ponderada por fragmentações.

Lema 3.2

Considerando o problema SbT , um algoritmo de α -aproximação para a versão não ponderada do problema é uma 3α -aproximação para a versão ponderada por fragmentações.

Lema 3.3

Considerando os problemas $SbRT$ e $Sb\bar{R}T$, um algoritmo de α -aproximação para a versão não ponderada do problema é uma 3α -aproximação assintótica para a versão ponderada por fragmentações.

Tabela 1: Fatores de aproximação dos problemas ponderados pelo número de fragmentações usando os melhores algoritmos conhecidos para a versão não ponderada.

Melhor Algoritmo		
	Problema Não Ponderado	Problema Ponderado
SbFWR	1.375-aproximação [5]	2.75-aproximação assintótica (Lema 3.1)
SbFWR̄	Algoritmo exato [13]	2-aproximação assintótica (Lema 3.1)
SbFWT	1.375-aproximação [10]	4.125-aproximação (Lema 3.2)
SbFWRT	$(2.8334 + \epsilon)$ -aproximação, para $\epsilon > 0$ [9, 24]	$(8.5002 + \epsilon)$ -aproximação assintótica, para $\epsilon \geq 0$ (Lema 3.3)
SbFWR̄T	2-aproximação [26]	6-aproximação assintótica (Lema 3.3)

Limitantes Inferiores

Definição

- Um breakpoint de reversão sem sinais existe entre um par de elementos consecutivos π_i e π_{i+1} se $|\pi_{i+1} - \pi_i| \neq 1$, para $0 \leq i \leq n$.
- O número de breakpoints de reversão em π é denotado por $b_r(\pi)$.
- Um breakpoint de transposição (ou de reversão com sinais) existe entre um par de elementos consecutivos π_i e π_{i+1} se $\pi_{i+1} - \pi_i \neq 1$, para $0 \leq i \leq n$.
- O número de breakpoints de transposição (ou de reversão com sinais) em π é denotado por $b_t(\pi)$ (ou $b_{\bar{r}}(\pi)$).
- Uma strip é uma subsequência maximal de π sem breakpoints.

Exemplo

$$\pi = (-2 -1 \cdot +4 +5 \cdot -3)$$

$$b_{\bar{r}}(\pi) = 2, strips(\pi) = \{(-2 -1), (+4 +5), (-3)\}$$

Limitantes Inferiores

Lema 3.4

Para qualquer permutação π e operação β , o custo médio para remoção de um breakpoint é maior ou igual a 1.

Lema 3.5

Para qualquer permutação π , $b_r(\pi) \leq d_r^f(\pi)$ e $b_{\bar{r}}(\pi) \leq d_{\bar{r}}^f(\pi)$.

Lema 3.6

Para qualquer permutação π , $b_t(\pi) \leq d_t^f(\pi)$.

Lema 3.7

Para qualquer permutação π , $b_r(\pi) \leq d_{rt}^f(\pi)$ e $b_{\bar{r}}(\pi) \leq d_{\bar{r}t}^f(\pi)$.

Algoritmos Básicos de 2-Aproximação

Visão Geral

Enquanto $b(\pi) > 0$:

1. Seja $s = (\pi_i, \dots, \pi_j)$ a strip contendo o elemento com maior valor absoluto fora de posição;
2. Mova a strip s para a sua posição correta com custo de no máximo 2.

- Esses algoritmos são chamados de 2-R, 2- \bar{R} e 2-T.
- O custo médio para remoção de um breakpoint é menor ou igual a 2.

Teorema 3.8

2-R, 2- \bar{R} e 2-T são algoritmos de 2-aproximação para os seus respectivos problemas.

Algoritmos Gulosos de 2-Aproximação

- Escolha gulosa: aplicar operação com melhor razão “breakpoints removidos / custo da operação”.
- Repita até que não existam mais breakpoints na permutação.
- As permutações η e $\bar{\eta}$ são ordenadas com uma reversão de custo 0.
- Esses algoritmos são chamados 2-Rg, 2- $\bar{R}g$, 2-Tg, 2-RTg, e 2- $\bar{R}Tg$.

Algoritmos Gulosos de 2-Aproximação

- Para os problemas SbFWT, SbFWRT e SbFW \bar{T} , sempre existe operação de custo 2 que remove pelo menos um breakpoint.
- Para os problemas SbFWR e SbFW \bar{R} , os algoritmos podem chegar a um estado em que não existem reversões que possam remover breakpoints.
- Nesse caso, o algoritmo aplica uma reversão de custo 1 a fim de garantir que exista operação com razão 1 na próxima iteração.
- Para todos os algoritmos, o custo médio para remoção de um breakpoint é menor ou igual a 2.

Teorema 3.9

$2\text{-}Rg$, $2\text{-}\bar{R}g$, $2\text{-}Tg$, $2\text{-}RTg$, e $2\text{-}\bar{R}Tg$ são algoritmos de 2-aproximação para os seus respectivos problemas.

Outros Resultados

- Resultados experimentais dos algoritmos desenvolvidos.
- Estudo da classe de permutações chamada de permutações simples:
 - O número de permutações simples sem sinais de tamanho n , com $n > 3$, é maior ou igual a $\lfloor \frac{n}{3} \rfloor !$;
 - O número de permutações simples com sinais de tamanho n , com $n > 3$, é maior ou igual a $\lfloor \frac{n}{3} \rfloor ! \times 2^{2\lfloor n/3 \rfloor}$;
 - Algoritmo de 1.5-aproximação assintótica para SbFWT e SbFWRT, considerando apenas permutações simples;
 - Algoritmo de 9/4-aproximação assintótica para SbFWT e SbFWRT, considerando qualquer permutação.

Outros Resultados

Tabela 2: Resumo dos limitantes para o diâmetro dos problemas SbFWR, SbFWT, SbFWRT, SbFWR̄ e SbFWR̄T.

Problema	Limitante Inferior	Limitante Superior
SbFWR	$n - 1$	$\frac{18n}{11} + O(1)$
SbFWT	n	$2(n - \log_{7/2} n)$
SbFWRT	$n - 1$	$\frac{18n}{11} + O(1)$
SbFWR̄	n	$2n - 6$
SbFWR̄T	n	$2n - 6$

Operações Curtas Ponderadas pelo Tamanho

Operações Curtas Ponderadas pelo Tamanho

- Indícios sugerem que, em alguns casos, as operações que ocorreram no processo evolutivo não agem em segmentos muito longos do genoma [6, 17].
- Essa observação motivou os problemas:
 - Ordenação de Permutações por Operações Ponderadas pelo Tamanho [12, 14, 15, 16, 25];
 - Ordenação de Permutações por Operações de Tamanho Limitado [20, 22, 23].
- Estudamos problemas que combinam a ponderação pelo tamanho do rearranjo com a restrição de que apenas operações curtas são permitidas:
 - Ordenação de Permutações por Operações Curtas Ponderadas pelo Tamanho.

Operações Curtas Ponderadas pelo Tamanho

- O objetivo desses problemas é encontrar a distância $d_M^\ell(\pi)$, onde ℓ é a ponderação por tamanho e M possui apenas operações curtas.
- Apresentamos cinco variações do problema:
 - Reversões Curtas (SbLWsR);
 - Reversões com Sinais Curtas (SbLWs \bar{R});
 - Transposições Curtas (SbLWsT);
 - Reversões Curtas e Transposições Curtas (SbLWsRsT);
 - Reversões com Sinais Curtas e Transposições Curtas (SbLWs \bar{R} sT).

Relação com a Abordagem Não Ponderada

Lema 4.1

Considerando os problemas $SbLWsR$, $SbLWsT$ e $SbLWsRsT$, uma α -aproximação para a versão não ponderada do problema é uma 1.5α -aproximação para a versão ponderada pelo tamanho.

Lema 4.2

Considerando os problemas $SbLWs\bar{R}$ e $SbLWs\bar{R}sT$, uma α -aproximação para a versão não ponderada do problema é uma 3α -aproximação para a versão ponderada pelo tamanho.

Relação com a Abordagem Não Ponderada

Tabela 3: Fatores de aproximação dos problemas com operações curtas ponderadas pelo tamanho usando os melhores algoritmos conhecidos para a versão não ponderada.

Melhor Algoritmo		
	Problema Não Ponderado	Problema Ponderado
SbLWsR	2-aproximação [14]	3-aproximação (Lema 4.1)
SbLWs \bar{R}	5-aproximação [12]	15-aproximação (Lema 4.2)
SbLWsT	5/4-aproximação [16]	15/8-aproximação (Lema 4.1)
SbLWsRsT	2-aproximação [25]	3-aproximação (Lema 4.1)
SbLWs \bar{R} sT	3-aproximação [12]	9-aproximação (Lema 4.2)

Inversões

Um par de elementos (π_i, π_j) de uma permutação π é uma *inversão* se $i < j$ e $|\pi_i| > |\pi_j|$. Usamos $\text{Inv}(\pi)$ para denotar o número de inversões em uma permutação π .

Exemplo

A permutação $\pi = (3 \ 4 \ 1 \ 2)$ possui as inversões $(\pi_1 = 3, \pi_3 = 1)$, $(\pi_1 = 3, \pi_4 = 2)$, $(\pi_2 = 4, \pi_3 = 1)$ e $(\pi_2 = 4, \pi_4 = 2)$. Neste exemplo, $\text{Inv}(\pi) = 4$.

Inversões

Dada uma permutação π , a variação no número de inversões causada por uma operação β é denotada por $\Delta\text{Inv}(\pi, \beta) = \text{Inv}(\pi) - \text{Inv}(\pi \circ \beta)$.

Grafo de Inversões

O grafo de inversões de uma permutação π é o grafo não direcionado $G^{inv}(\pi) = (V, E)$, onde $V = \{\pi_1, \pi_2, \dots, \pi_n\}$ e $E = \{(\pi_i, \pi_j) : (\pi_i, \pi_j) \text{ é uma inversão em } \pi\}$.

- Um componente conexo C de $G^{inv}(\pi)$ é *ímpar* se ele contém um número ímpar de elementos negativos (vértices negativos) e é *par* caso contrário.
- $c^{inv}(\pi)$ e $c_{odd}^{inv}(\pi)$ denotam o número de componentes conexos e o número de componentes conexos ímpares de $G^{inv}(\pi)$, respectivamente.
- O número de vértices não isolados de $G^{inv}(\pi)$ é denotado por $\gamma(\pi)$.

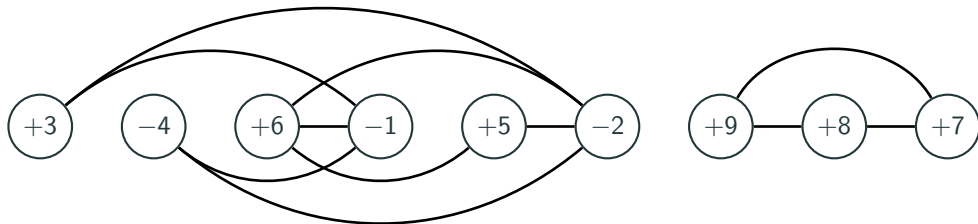


Figura 1: Grafo de inversões para $\pi = (+3 \ -4 \ +6 \ -1 \ +5 \ -2 \ +9 \ +8 \ +7)$. Neste exemplo, $c^{inv}(\pi) = 2$, $c_{odd}^{inv}(\pi) = 1$ e $\gamma(\pi) = 9$.

Conceitos

Entropia

A *entropia* do elemento π_i é definida como $\text{ent}(\pi_i) = ||\pi_i| - i|$, para $1 \leq i \leq n$.

Definimos os conjuntos:

- $E_{\pi}^{\text{even}^-} = \{\pi_i : \pi_i < 0 \text{ e } \text{ent}(\pi_i) \text{ é par}\};$
- $E_{\pi}^{\text{odd}^+} = \{\pi_i : \pi_i > 0 \text{ e } \text{ent}(\pi_i) \text{ é ímpar}\}.$

Exemplo

Para $\pi = (+5 \ -4 \ +3 \ -1 \ +2)$, temos $\text{ent}(+5) = 4$, $\text{ent}(-4) = 2$, $\text{ent}(+3) = 0$, $\text{ent}(-1) = 3$, e $\text{ent}(+2) = 3$, e os conjuntos $E_{\pi}^{\text{even}^-} = \{-4\}$ e $E_{\pi}^{\text{odd}^+} = \{+2\}$.

Lema 4.3 (Galvão et al. [12])

Para qualquer permutação com sinais π e reversão super curta $\bar{\rho}$, temos que

$$|E_{\pi}^{\text{even}^-}| + |E_{\pi}^{\text{odd}^+}| = |E_{\pi'}^{\text{even}^-}| + |E_{\pi'}^{\text{odd}^+}|, \text{ onde } \pi' = \pi \circ \bar{\rho}.$$

Lema 4.4 (Galvão et al. [12])

Para qualquer permutação π e operação curta β ,

- i) $-1 \leq \Delta\text{Inv}(\pi, \beta) \leq 1$ se β tem tamanho 2;
- ii) $-2 \leq \Delta\text{Inv}(\pi, \beta) \leq 2$ se β é uma transposição de tamanho 3;
- iii) $-3 \leq \Delta\text{Inv}(\pi, \beta) \leq 3$ se β é uma reversão de tamanho 3.

Lema 4.5

Para qualquer permutação π , se $\text{Inv}(\pi) > 0$, então existe uma inversão (π_i, π_{i+1}) .

Algoritmos para Permutações sem Sinais

- Escolha gulosa: aplicar operação com melhor razão $\frac{\Delta \text{Inv}(\pi, \beta)}{|\beta|}$.
- Pelo Lema 4.5, sempre existe reversão ou transposição curta com $\frac{\Delta \text{Inv}(\pi, \beta)}{|\beta|} \geq \frac{1}{2}$.
- A permutação identidade é a única permutação com $\text{Inv}(\iota) = 0$.
- Repita até que a permutação esteja ordenada.
- Esses algoritmos são chamados 2-sR, 4/3-sT e 2-sRsT.

Teorema 4.6

$2\text{-}sR$ e $2\text{-}sRsT$ são algoritmos de 2-aproximação para $SbLWsR$ e $SbLWsRsT$, respectivamente.

Teorema 4.7

$4/3\text{-}sT$ é uma algoritmo de $4/3$ -aproximação para $SbLWsT$.

Função Objetivo

Dada uma permutação com sinais π e uma sequência S , seja $\pi' = \pi \circ S$. A função objetivo é definida como

$$\phi(\pi, S) = \frac{(2 \operatorname{Inv}(\pi) + |E_{\pi}^{\text{even}^-}| + |E_{\pi}^{\text{odd}^+}|) - (2 \operatorname{Inv}(\pi') + |E_{\pi'}^{\text{even}^-}| + |E_{\pi'}^{\text{odd}^+}|)}{\sum_{\beta \in S} |\beta|}.$$

Lema 4.8

Para qualquer permutação com sinais π e qualquer operação curta β , temos que $\phi(\pi, \beta) \leq 3$.

Lema 4.9

Para qualquer permutação com sinais $\pi \neq \iota$, existe reversão com sinais curta $\bar{\rho}$ com $\phi(\pi, \bar{\rho}) \geq 1$.

- A permutação identidade é a única permutação com $\text{Inv}(\iota) = |E_\iota^{\text{even}}^-| = |E_\iota^{\text{odd}}^+| = 0$.
- Se S é uma sequência de ordenação ótima, então $\phi(\pi, S) \geq \phi(\pi, S')$, para qualquer sequência de ordenação S' .
- Escolha gulosa: aplicar a operação curta β com maior valor objetivo $\phi(\pi, \beta)$.
- Esses algoritmos são chamados 3-s \bar{R} e 3-s $\bar{R}sT$.

Teorema 4.10

3-s \bar{R} e 3-s $\bar{R}sT$ são algoritmos de 3-aproximação para $SbLWs\bar{R}$ e $SbLWs\bar{R}sT$, respectivamente.

Função Objetivo

Dada uma permutação com sinais π e uma sequência S , seja $\pi' = \pi \circ S$. A função objetivo é definida como

$$\psi(\pi, S) = \frac{(2 \operatorname{Inv}(\pi) + c_{odd}^{inv}(\pi)) - (2 \operatorname{Inv}(\pi') + c_{odd}^{inv}(\pi'))}{\sum_{\beta \in S} |\beta|}.$$

Lema 4.11

Para qualquer permutação com sinais π e qualquer operação curta β , temos que $\psi(\pi, \beta) \leq \frac{7}{3}$.

Lema 4.12

Para qualquer permutação com sinais $\pi \neq \iota$, existe operação curta β com $\psi(\pi, \beta) \geq 1$.

- A permutação identidade é a única permutação com $\text{Inv}(\iota) = c_{odd}^{inv}(\iota) = 0$.
- Se S é uma sequência de ordenação ótima, então $\psi(\pi, S) \geq \psi(\pi, S')$, para qualquer sequência de ordenação S' .
- Escolha gulosa: aplicar a operação curta β com maior valor objetivo $\psi(\pi, \beta)$.
- Esse algoritmo é chamado de 7/3-sRsT.

Teorema 4.13

7/3-sRsT é um algoritmo de 7/3-aproximação para SbLWsRsT.

Outros Resultados

- $(1 + \gamma(\pi)/(3 \text{ Inv}(\pi)))$ -aproximação para SbLWsT.
- Resultados experimentais dos algoritmos desenvolvidos.
- Análise dos problemas quando a função de custo é igual a ℓ^α , onde ℓ é o tamanho da operação e $\alpha \geq 1$ é uma constante.

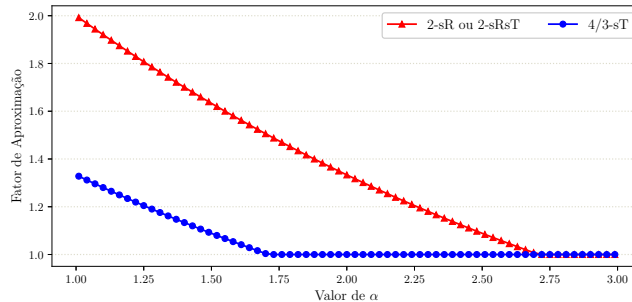


Figura 2: Fator de aproximação dos algoritmos para permutações sem sinais, para valores de $\alpha \geq 1$.

Outros Resultados

- Além disso, demonstramos que existe algoritmo polinomial para SbLWs \bar{R} quando $\alpha \geq 3$.

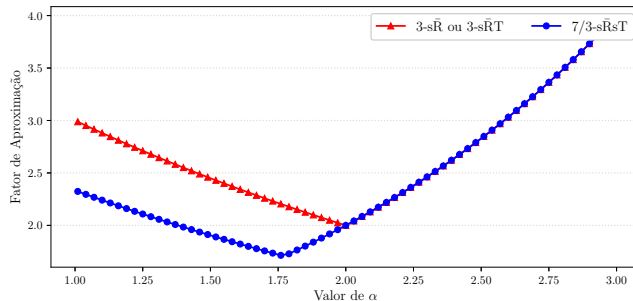


Figura 3: Fator de aproximação dos algoritmos para permutações com sinais, para valores de $\alpha \geq 1$.

Conclusões

Resumo dos Resultados

- Ordenação de Permutações por Operações Ponderadas pelo Número de Fragmentações:
 - Relação com a abordagem não ponderada;
 - Algoritmos de 2-aproximação para cinco modelos de rearranjo;
 - Resultados experimentais desses algoritmos;
 - Algoritmos de 1.5-aproximação para dois modelos de rearranjo, considerando permutações simples;
 - Limitantes para o diâmetro dos cinco problemas.
- Ordenação de Permutações por Operações Curtas Ponderadas pelo Tamanho:
 - Relação com a abordagem não ponderada;
 - Algoritmos de aproximação constante para cinco modelos de rearranjo;
 - Resultados experimentais desses algoritmos;
 - Análise dos problemas quando a função de custo é igual a ℓ^α , onde ℓ é o tamanho da operação e $\alpha \geq 1$ é uma constante.

Publicações

- *Approximation Algorithms for Sorting Permutations by Fragmentation-Weighted Operations* [1], apresentado na *International Conference on Algorithms for Computational Biology* (AlCoB'2018).
 - Versão estendida submetida para uma revista internacional.
- *Approximation Algorithms for Sorting Permutations by Length-Weighted Short Rearrangements*, aceito para apresentação no *Latin and American Algorithms, Graphs and Optimization Symposium* (LAGOS'2019).
- *Sorting λ -Permutations by λ -Operations* [21], apresentado no *Brazilian Symposium on Bioinformatics* (BSB'2018).
 - Colaboração com Guilherme Henrique Santos Miranda.
 - Versão estendida submetida para uma revista internacional.

Obrigado

Referências

- [1] Alexsandro Oliveira Alexandrino, Carla Negri Lintzmayer, and Zanoni Dias. Approximation Algorithms for Sorting Permutations by Fragmentation-Weighted Operations. In *Algorithms for Computational Biology*, volume 10849, pages 53–64. Springer International Publishing, 2018.
- [2] Martin Bader and Enno Ohlebusch. Sorting by Weighted Reversals, Transpositions, and Inverted Transpositions. *Journal of Computational Biology*, 14(5):615–636, 2007.
- [3] Vineet Bafna and Pavel A. Pevzner. Sorting by Transpositions. *SIAM Journal on Discrete Mathematics*, 11(2):224–240, 1998.
- [4] Christian Baudet, Ulisses Dias, and Zanoni Dias. Length and Symmetry on the Sorting by Weighted Inversions Problem. In S. Campos, editor, *Advances in Bioinformatics and Computational Biology*, volume 8826 of *Lecture Notes in Computer Science*, pages 99–106. Springer International Publishing, Switzerland, 2014.

Referências

- [5] Piotr Berman, Sridhar Hannenhalli, and Marek Karpinski. 1.375-Approximation Algorithm for Sorting by Reversals. In *Proceedings of the 10th Annual European Symposium on Algorithms (ESA'2002)*, volume 2461 of *Lecture Notes in Computer Science*, pages 200–210. Springer-Verlag Berlin Heidelberg New York, Berlin/Heidelberg, Germany, 2002.
- [6] Mathieu Blanchette, Takashi Kunisawa, and David Sankoff. Parametric Genome Rearrangement. *Gene*, 172(1):GC11–GC17, 1996.
- [7] Laurent Bulteau, Guillaume Fertin, and Irena Rusu. Sorting by Transpositions is Difficult. *SIAM Journal on Computing*, 26(3):1148–1180, 2012.
- [8] Alberto Caprara. Sorting Permutations by Reversals and Eulerian Cycle Decompositions. *SIAM Journal on Discrete Mathematics*, 12(1):91–110, 1999.
- [9] Xin Chen. On Sorting Unsigned Permutations by Double-Cut-and-Joins. *Journal of Combinatorial Optimization*, 25(3):339–351, 2013.

Referências

- [10] Isaac Elias and Tzvika Hartman. A 1.375-Approximation Algorithm for Sorting by Transpositions. *IEEE/ACM Transactions on Computational Biology and Bioinformatics*, 3(4):369–379, 2006.
- [11] Niklas Eriksen. Combinatorics of Genome Rearrangements and Phylogeny. Teknologie Licentiat Thesis, Kungliga Tekniska Högskolan, Stockholm, 2001.
- [12] Gustavo R. Galvão, Orlando Lee, and Zanoni Dias. Sorting Signed Permutations by Short Operations. *Algorithms for Molecular Biology*, 10(1):1–17, 2015.
- [13] Sridhar Hannenhalli and Pavel A. Pevzner. Transforming Cabbage into Turnip: Polynomial Algorithm for Sorting Signed Permutations by Reversals. *Journal of the ACM*, 46(1):1–27, 1999.
- [14] Lenwood S. Heath and John Paul C. Vergara. Sorting by Short Swaps. *Journal of Computational Biology*, 10(5):775–789, 2003.

Referências

- [15] Mark R. Jerrum. The Complexity of Finding Minimum-length Generator Sequences. *Theoretical Computer Science*, 36(2-3):265–289, 1985.
- [16] Haitao Jiang, Haodi Feng, and Daming Zhu. An 5/4-Approximation Algorithm for Sorting Permutations by Short Block Moves. In *Proceedings of the 25th International Symposium on Algorithms and Computation (ISAAC'2014)*, volume 8889 of *Lecture Notes in Computer Science*, pages 491–503. Springer International Publishing, 2014.
- [17] Jean-François Lefebvre, Nadia El-Mabrouk, Elisabeth R. M. Tillier, and David Sankoff. Detection and validation of single gene inversions. *Bioinformatics*, 19(1):i190–i196, 2003.
- [18] Guohui Lin and Tao Jiang. A Further Improved Approximation Algorithm for Breakpoint Graph Decomposition. *Journal of Combinatorial Optimization*, 8(2):183–194, 2004.
- [19] Carla N. Lintzmayer, Guillaume Fertin, and Zanoni Dias. Approximation Algorithms for Sorting by Length-Weighted Prefix and Suffix Operations. *Theoretical Computer Science*, 593:26–41, 2015.

Referências

- [20] Carla Negri Lintzmayer, Guillaume Fertin, and Zanoni Dias. Sorting permutations and binary strings by length-weighted rearrangements. *Theoretical Computer Science*, 715:35–59, 2018.
- [21] Guilherme Henrique Santos Miranda, Aleksandro Oliveira Alexandrino, Carla Negri Lintzmayer, and Zanoni Dias. Sorting λ -permutations by λ -operations. In *Advances in Bioinformatics and Computational Biology*, pages 1–13. Springer International Publishing, 2018.
- [22] Thach C. Nguyen, Hieu T. Ngo, and Nguyen B. Nguyen. Sorting by Restricted-Length-Weighted Reversals. *Genomics Proteomics & Bioinformatics*, 3(2):120–127, 2005.
- [23] Ron Y. Pinter and Steven Skiena. Genomic Sorting with Length-Weighted Reversals. *Genome Informatics*, 13:2002, 2002.

Referências

- [24] Atif Rahman, Swakkhar Shatabda, and Masud Hasan. An Approximation Algorithm for Sorting by Reversals and Transpositions. *Journal of Discrete Algorithms*, 6(3):449–457, 2008.
- [25] John P. C. Vergara. *Sorting by Bounded Permutations*. PhD thesis, Virginia Polytechnic Institute and State University, 1998.
- [26] Maria E. M. T. Walter, Zanoni Dias, and João Meidanis. Reversal and Transposition Distance of Linear Chromosomes. In *Proceedings of the 5th International Symposium on String Processing and Information Retrieval (SPIRE'1998)*, pages 96–102, Los Alamitos, CA, USA, 1998. IEEE Computer Society.

Resultados Experimentais: Operações Ponderadas pelo Número de Fragmentações

Resultados Experimentais

- Instâncias:
 - UB_n : 1000 permutações sem sinais aleatórios de tamanho n com número máximo de *breakpoints*;
 - SB_n : 1000 permutações com sinais aleatórios de tamanho n com número máximo de *breakpoints*;
 - R_n^M : 1000 permutações de tamanho n geradas a partir da aplicação de $n/5$ operações aleatórias na permutação identidade ι .

Resultados Experimentais

- Algoritmos Adaptados:
 - A-R: $(1.4193 + \epsilon)$ -aproximação para a Ordenação de Permutações por Reversões sem Sinais [13, 18];
 - A- \bar{R} : algoritmo exato para a Ordenação de Permutações por Reversões com Sinais [13];
 - A-T: 1.5-aproximação para a Ordenação de Permutações por Transposições [3];
 - A-RT: $2k$ -aproximação, com $k = 1.4193 + \epsilon$ [18], para a Ordenação de Permutações por Reversões sem Sinais e Transposições [24];
 - A- $\bar{R}T$: 2-aproximação para a Ordenação de Permutações por Reversões com Sinais e Transposições [24].

Resultados Experimentais

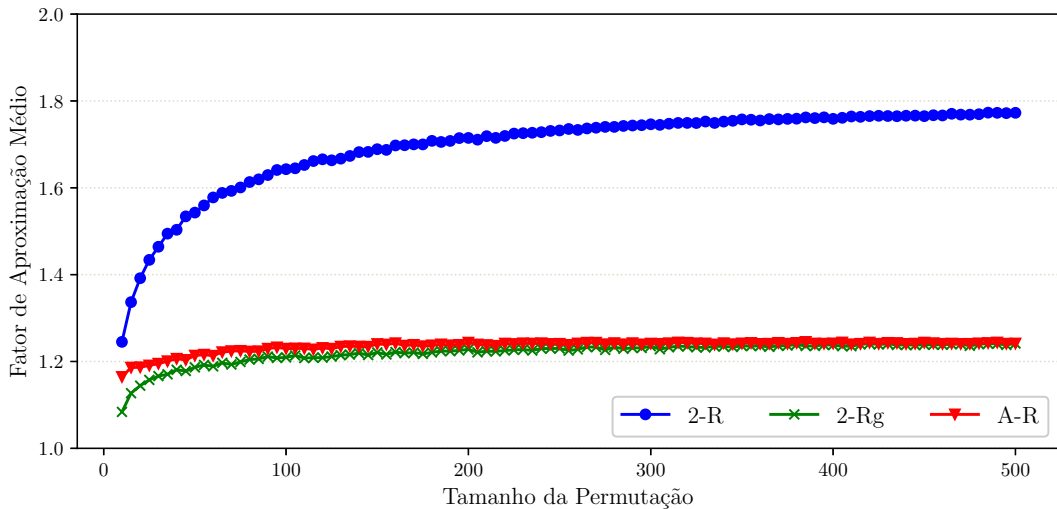


Figura 4: Fator de aproximação médio para os algoritmos 2-R, 2-Rg e A-R e instâncias R_n^r .

Resultados Experimentais

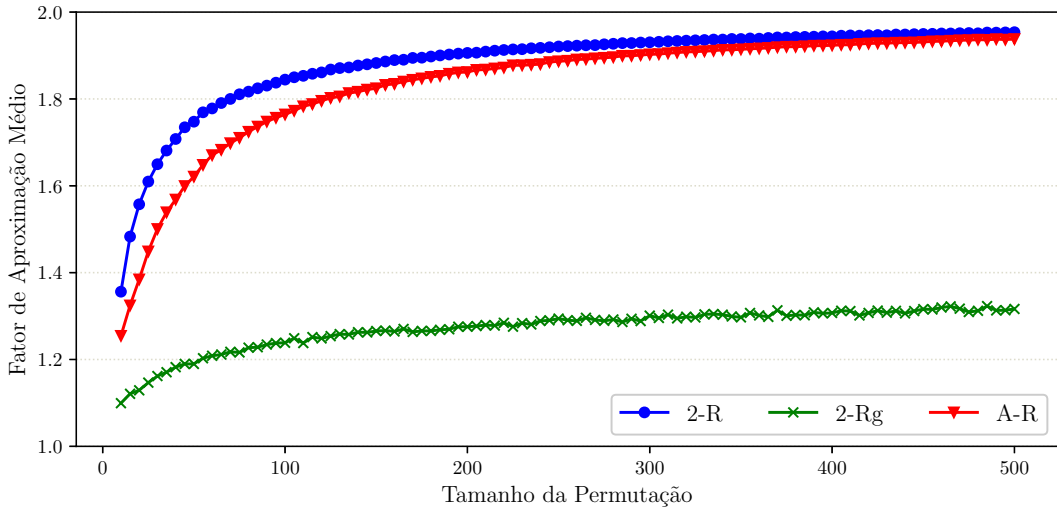


Figura 5: Fator de aproximação médio para os algoritmos 2-R, 2-Rg e A-R e instâncias UB_n .

Resultados Experimentais

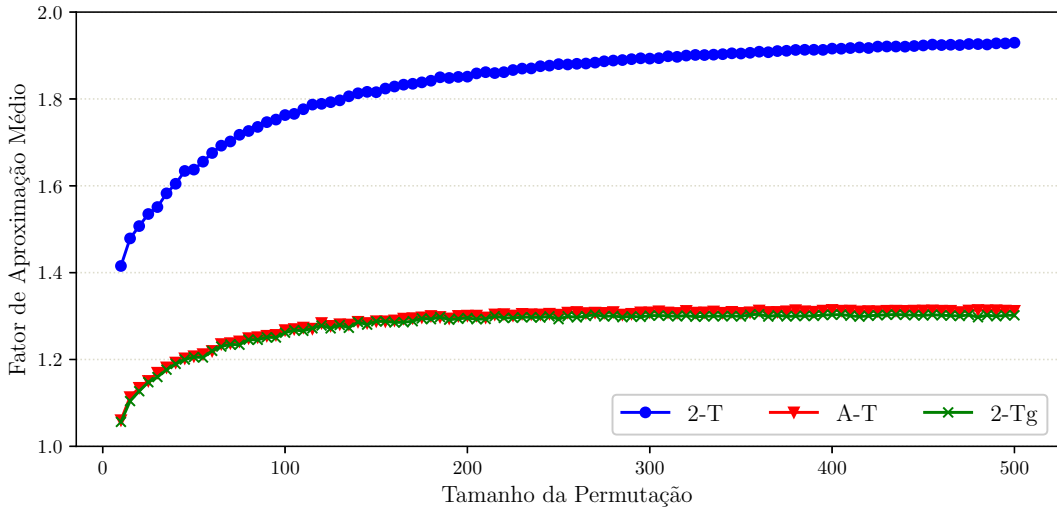


Figura 6: Fator de aproximação médio para os algoritmos 2-T, 2-Tg e A-T e instâncias R_n^t .

Resultados Experimentais

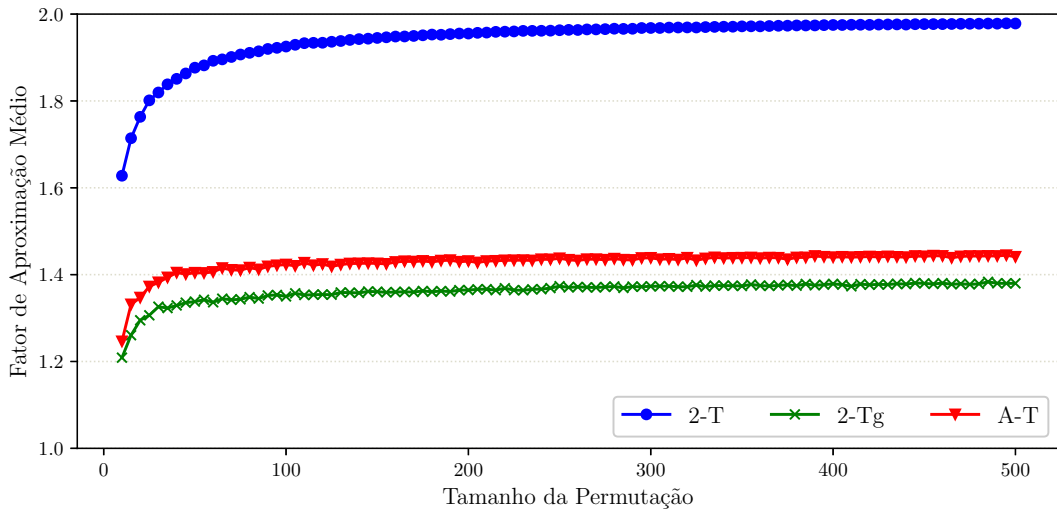


Figura 7: Fator de aproximação médio para os algoritmos 2-T, 2-Tg e A-T e instâncias UB_n .

Resultados Experimentais

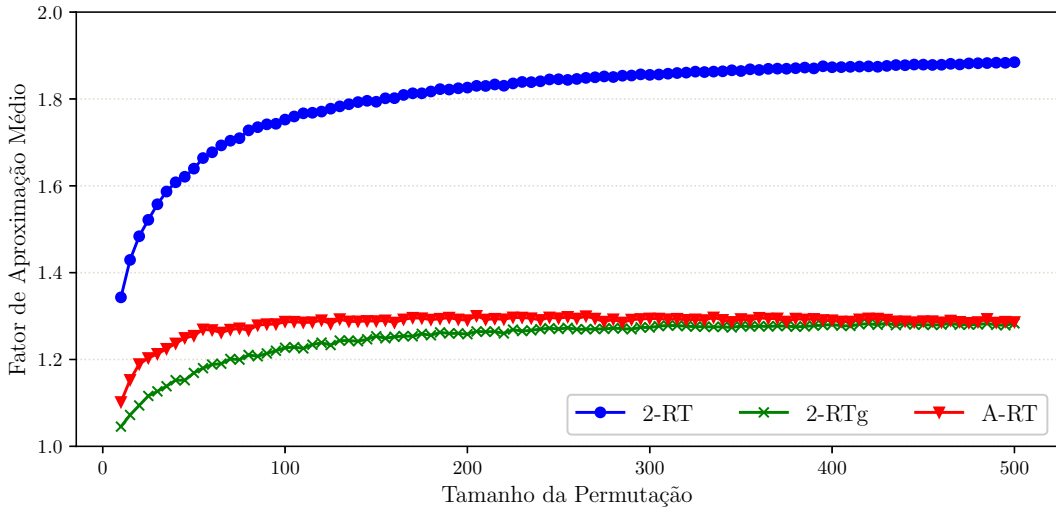


Figura 8: Fator de aproximação médio para os algoritmos 2-RT, 2-RTg e A-RT e instâncias R_n^{rt} .

Resultados Experimentais

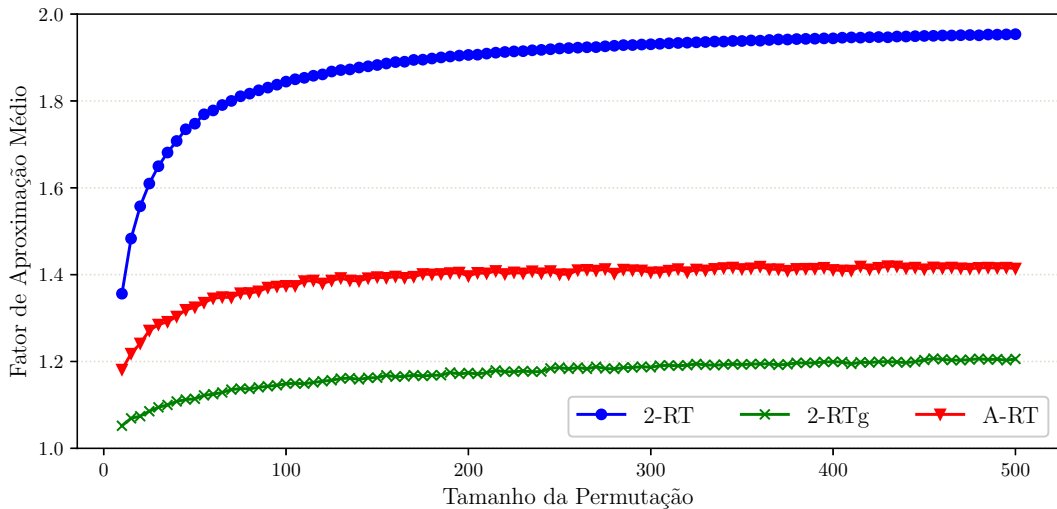


Figura 9: Fator de aproximação médio para os algoritmos 2-RT, 2-RTg e A-RT e instâncias UB_n.

Resultados Experimentais

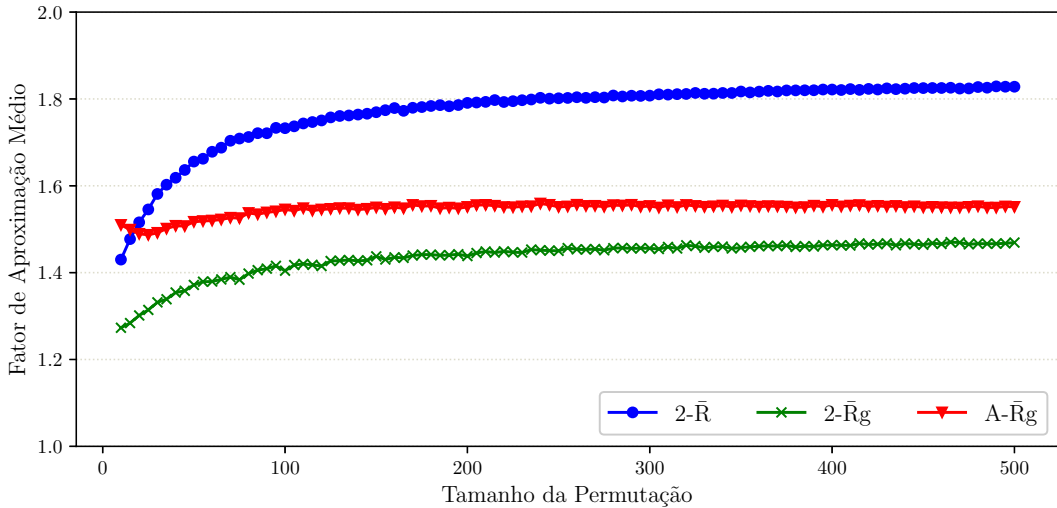


Figura 10: Fator de aproximação médio para os algoritmos 2- \bar{R} , 2- \bar{R}_g e A- \bar{R}_g e instâncias $R_n^{\bar{r}}$.

Resultados Experimentais

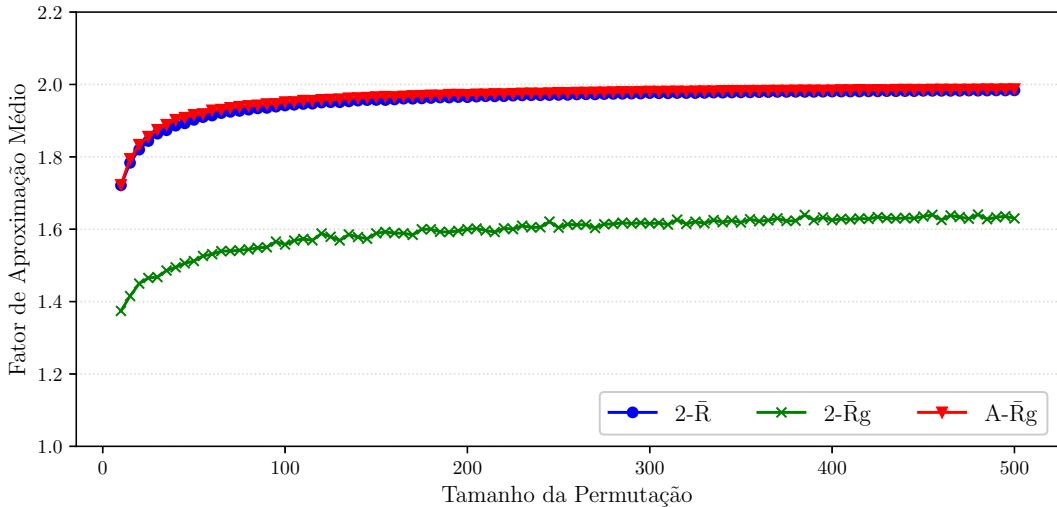


Figura 11: Fator de aproximação médio para os algoritmos 2- \bar{R} , 2- \bar{R}_g e A- \bar{R}_g e instâncias SB_n.

Resultados Experimentais

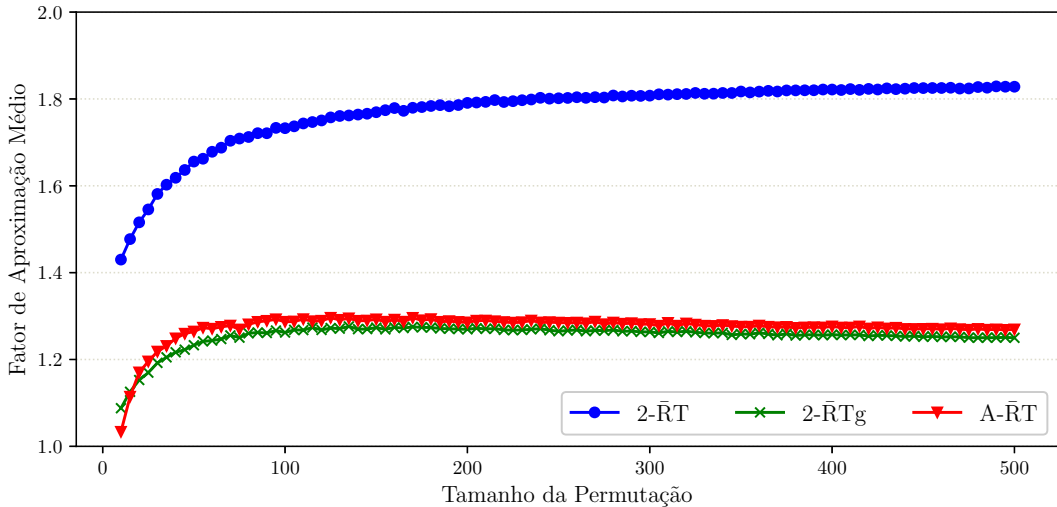


Figura 12: Fator de aproximação médio para os algoritmos 2- $\bar{R}T$, 2- $\bar{R}Tg$ e A- $\bar{R}T$ e instâncias $R_n^{\bar{r}t}$.

Resultados Experimentais

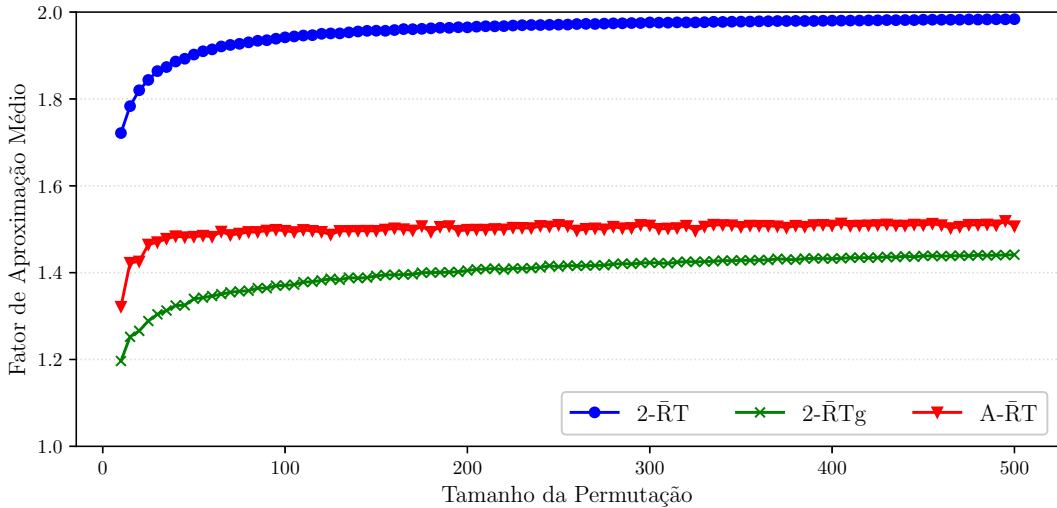


Figura 13: Fator de aproximação médio para os algoritmos 2- $\bar{R}T$, 2- $\bar{R}Tg$ e A- $\bar{R}T$ e instâncias SB_n.

Resultados Experimentais: Operações Curtas Ponderadas pelo Tamanho

Resultados Experimentais

- Instâncias:
 - SR01_n^M : 1000 permutações de tamanho n geradas a partir da aplicação de $\lceil \sqrt{n} \rceil$ operações curtas aleatórias na permutação identidade ι ;
 - SR02_n^M : 1000 permutações de tamanho n geradas a partir da aplicação de $\lceil \frac{n}{2} \rceil$ operações curtas aleatórias na permutação identidade ι ;
 - SR03_n^M : 1000 permutações de tamanho n geradas a partir da aplicação de n operações curtas aleatórias na permutação identidade ι ;
 - SR04_n^M : 1000 permutações de tamanho n geradas a partir da aplicação de n^2 operações curtas aleatórias na permutação identidade ι .

Resultados Experimentais

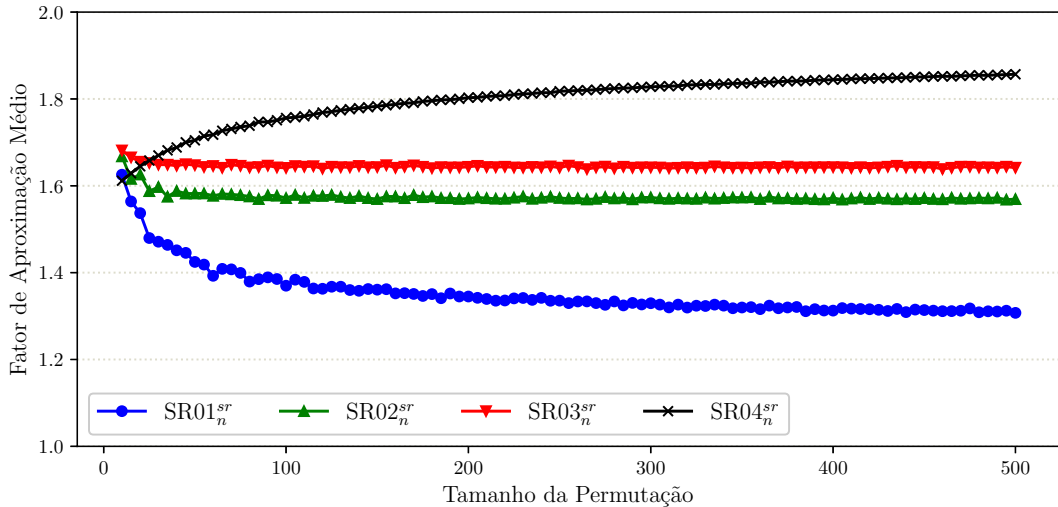


Figura 14: Fator de aproximação médio para o algoritmo 2-sR.

Resultados Experimentais

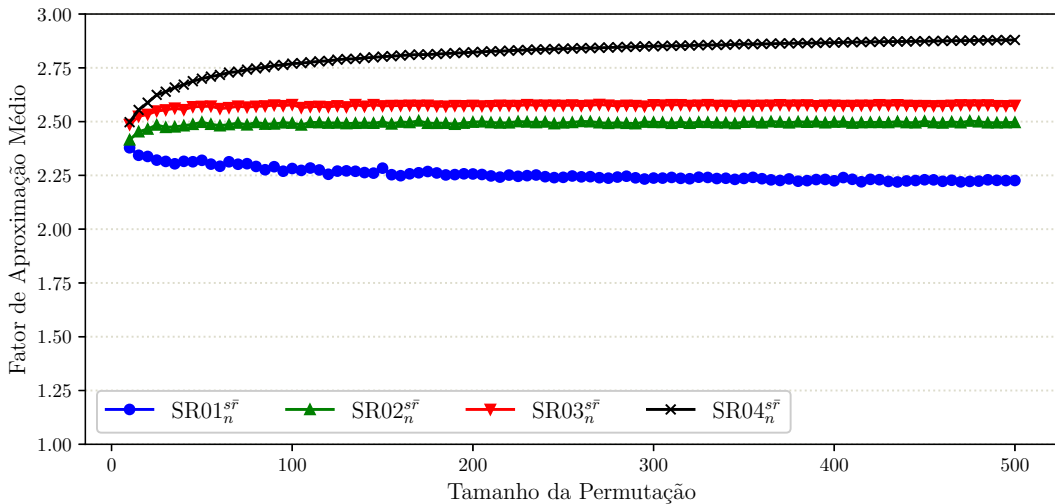


Figura 15: Fator de aproximação médio para o algoritmo 3-sR̄.

Resultados Experimentais

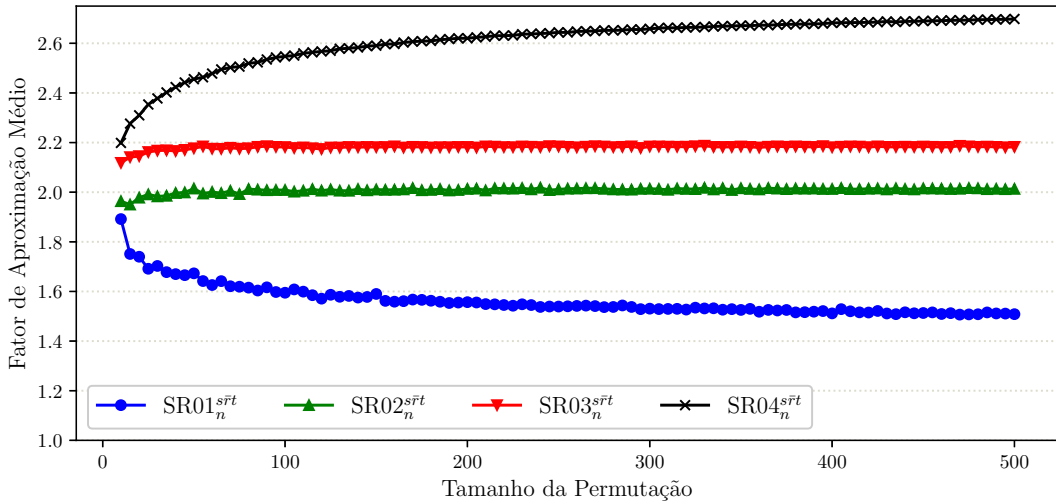


Figura 16: Fator de aproximação médio para o algoritmo 3-sRsT.

Resultados Experimentais

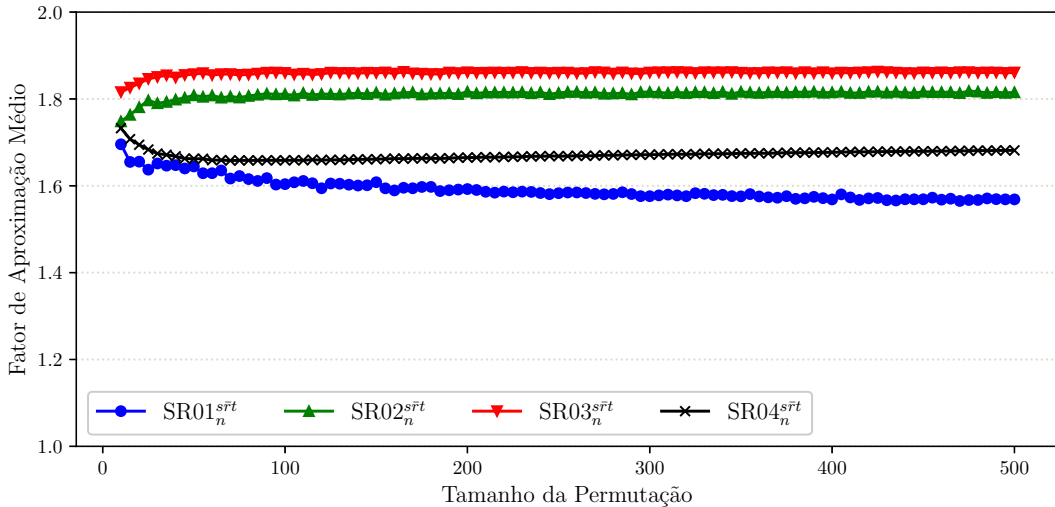


Figura 17: Fator de aproximação médio para o algoritmo 7/3-sRsT.

Resultados Experimentais

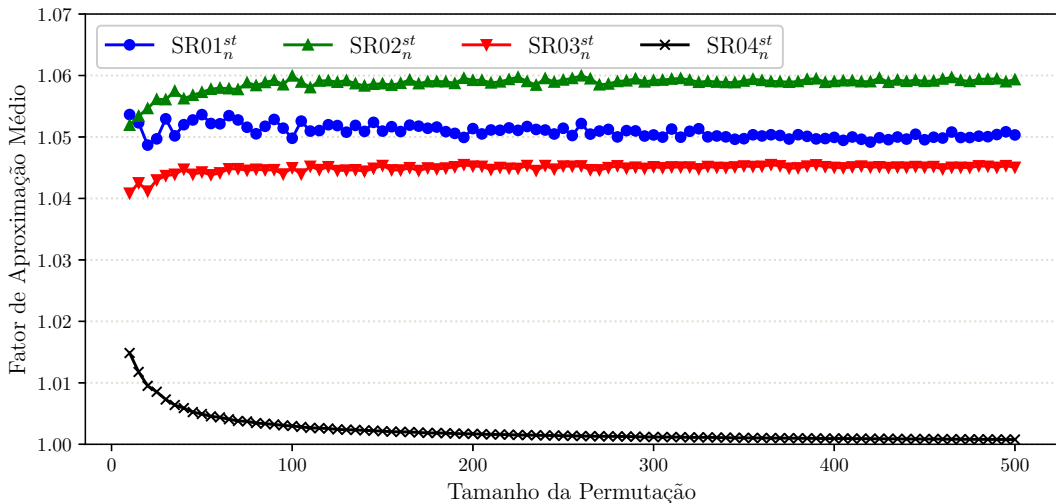


Figura 18: Fator de aproximação médio para o algoritmo 4/3-sT.

Resultados Experimentais

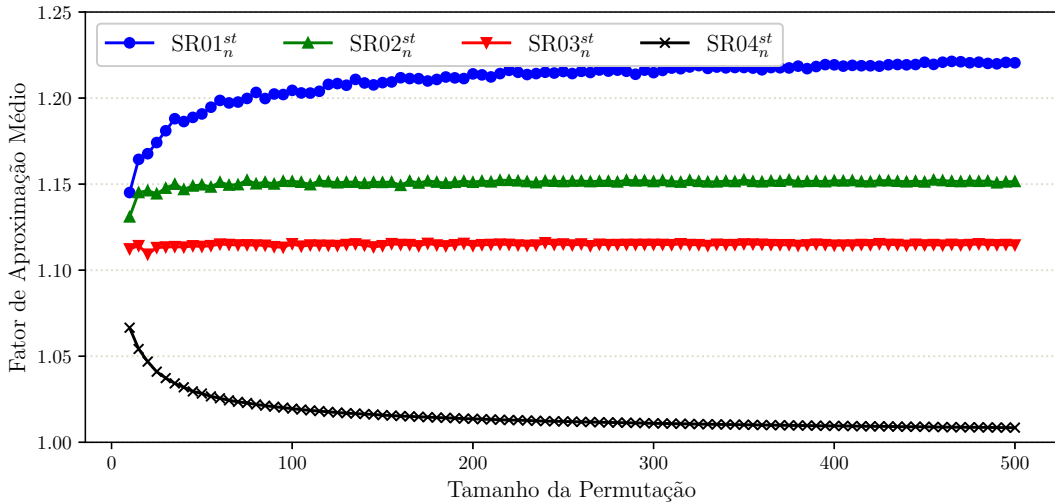


Figura 19: Fator de aproximação médio para o algoritmo ManyInversions-sT.

Resultados Experimentais

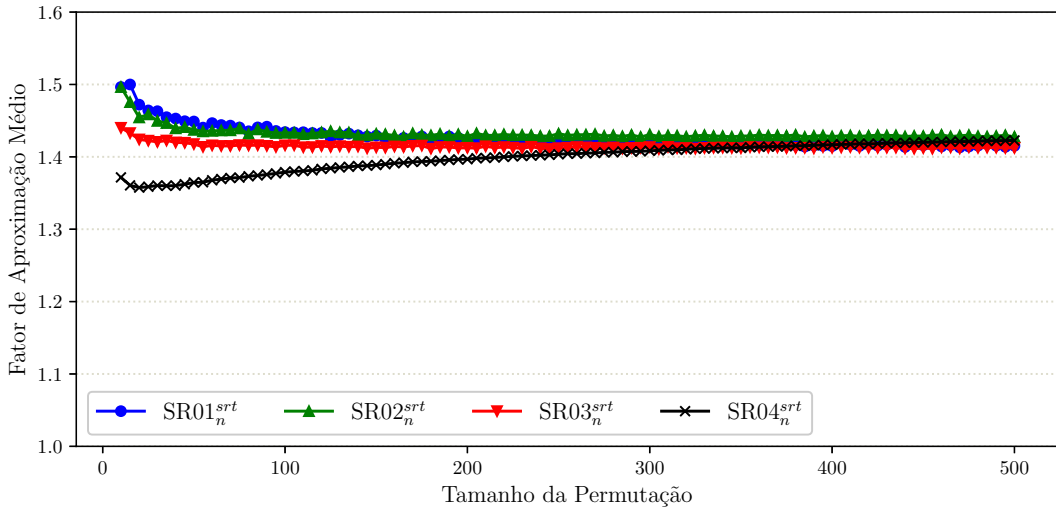


Figura 20: Fator de aproximação médio para o algoritmo 2-sRsT.